

降水量の将来の予測の可能性について

信州大学工学部 正員 余越 正一郎
同上 學生員 山本 直亮

1. 目的

将来予測の精度は、過去の観測データが長い程周期性と傾向性の判定が容易になるので増大する。少ない水立量データから、適切な将来予測を行なおうとしても種々の操作を重ね、多くの仮定の上に立って予測するので、その精度は鈍るものと思われる。本論文においては、太陽活動、気候変動、降水量変化、樹木成長率間の関係を明らかにすることに依り、他の長期観測データを基にして、短期観測データの適切な将来予測が可能であるか検討してみた。

太陽活動が惑星間空間を伝播し、
地球圈に作用して気候変動に影響を
与え、さまざまな気象変化を引き起
こし、植物の成長等にも影響を及ぼ
していると考えられるので、Fig.1
のような伝播機構を想定して、太陽
活動変動、気候変動、樹木成長率間
の伝達特性を、それぞれの観測データを入出力の信号とした線形を成す伝送系であると仮定して検討してみる。

入出力から系の重み関数、あるいは、そのコリエ変換であるシステム関数を推定するわけであるが、クロススペクトルの代りにオートバイスペクトルを用いるので、同時生じた観測データがなくともある程度の観測データにより系の伝達関数を推定できる。

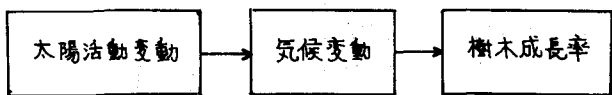


Fig.1 伝播機構

2. 方 法

入力 $x(t)$ 、出力 $y(t)$ 、重み関数 $r(t)$ として、 $x(t)$ を次のように表わされる周期信号であるとする、

$$x(t) = \sum_{k=1}^n A_k \cos \{2\pi f_0(t-t_k) - \varphi_k\} \quad \cdots \cdots (1)$$

$A_k \neq 0$ 、 t_k は観測開始時刻による影響

$x(t)$ が $r(t)$ を通過することにより、系の出力 $y(t)$ は、

$$y(t) = r(t) * x(t)$$

$$= B_1 \cos \{2\pi f_0(t-t_B) - \varphi_1\} + \sum_{k=2}^n B_k \cos \{2\pi f_0(t-t_k) - \varphi_k\}$$

$$= \sum_{k=1}^N B_k \cos \left\{ 2\pi f_0 (t - t_k) - \psi_k \right\} \quad \dots \dots \dots \quad (2)$$

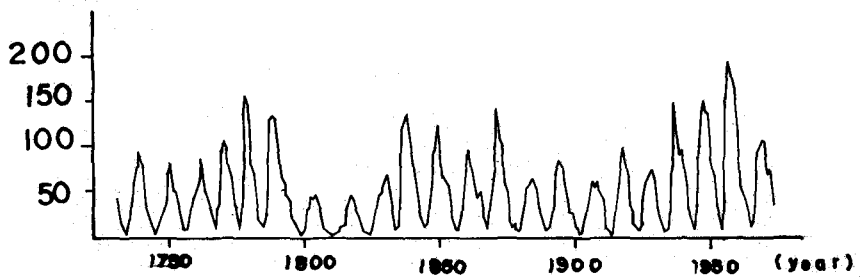
となる。ただし、 \star は畳み込み積分を表わし、 $\pm\omega$ は基本周波数成分の時間遅れにより生じる項である。このとき ψ_1, \dots, ψ_n が周波数成分間の影響による分散である。 $\varphi(\omega), \psi(\omega)$ を利用してシステム関数

$$H(k_f_0) = \frac{B_k}{A_k} \exp[-j\{2\pi f_0(t_b - t_a) + \psi_k - \varphi_k\}] \quad \dots \dots (3)$$

を推定する。

オートバイスペクトルの位相項、振幅項は入力側では、

$$\left\{ \begin{array}{l} P_x = \frac{q_1}{2} + q_2 \\ \quad - q_{x+2} \\ M_x = \frac{1}{8} A_E A_L \\ \quad - A_{E+2} \end{array} \right. \quad \begin{array}{l} (\text{piece}) \\ | \\ 200 \\ 150 \\ 100 \\ 50 \end{array}$$



出力側では

Fig.2 relative of sun spot number

$$\begin{cases} P_6 = 4\bar{q}_1 + 4\bar{q}_2 - 4\bar{q}_{e+2} \\ M_y = \frac{1}{8} B_{\bar{q}_1} B_{\bar{q}_2} B_{\bar{q}_{e+2}} \end{cases} \quad \text{----- (5)}$$

と表わされるので、(4), (5)式を用い、 $\Psi_1 = \Psi_2 = \frac{\pi}{2}$ として $\Psi_0 - \Psi_3$ を推定する。また、入出力信号のパワースペクトルより、

$$\left\{ \begin{array}{l} A_E = \sqrt{\Phi_{xx}(R_f)} df \\ B_E = \sqrt{\Phi_{yy}(R_f)} df \end{array} \right. \quad (6)$$

と表わされるので、(6)式より

B_B/A_B を推定しうる。

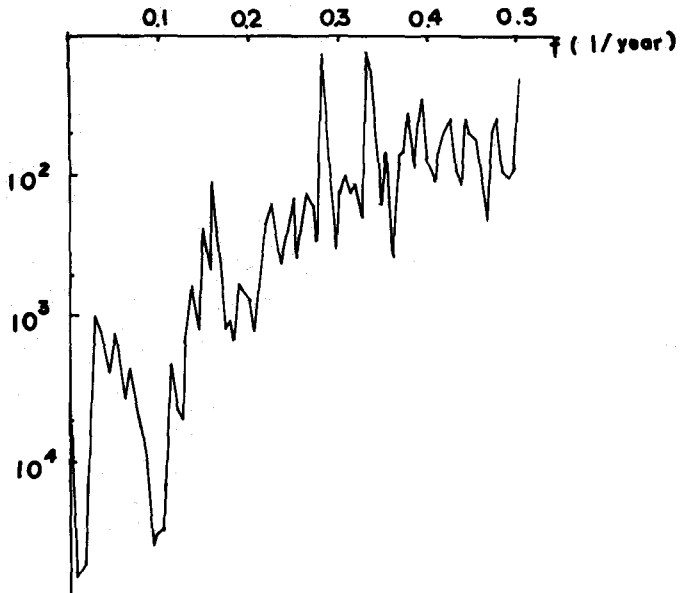


Fig.3 power spectrum of sun spot number

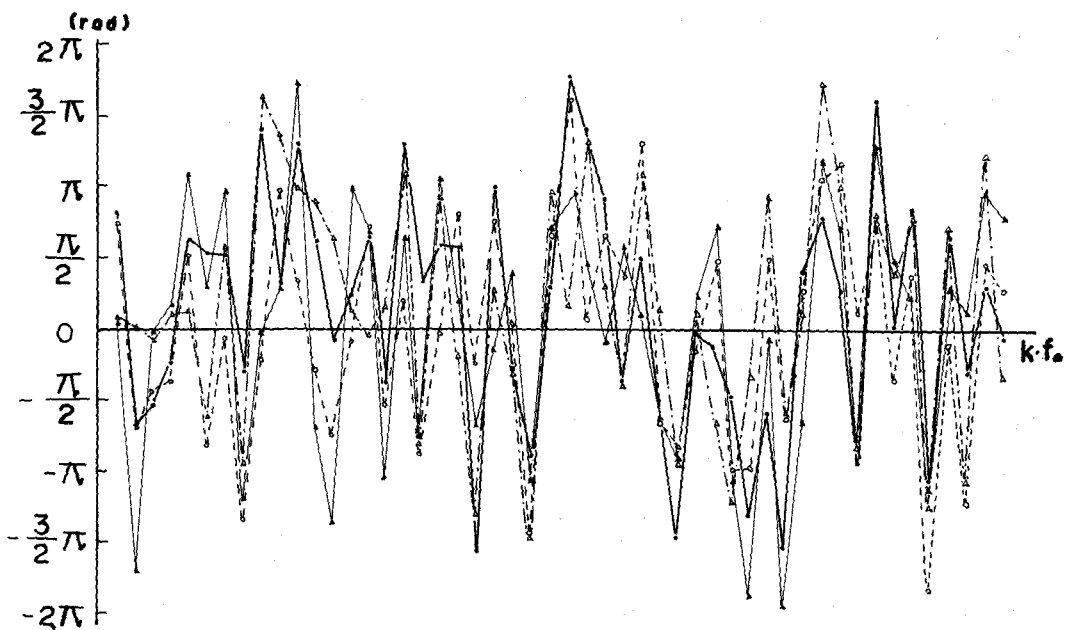


Fig. 4 位相項特性 ($f_0 = 0.00975 \text{ /year}$)

- 黑点數・ δ ヤナ成長率間
- ▲—▲ 黑点數・紅椿成長率間
- 黑点數・降水量間
- △—△ 降水量・ δ ヤナ成長率間

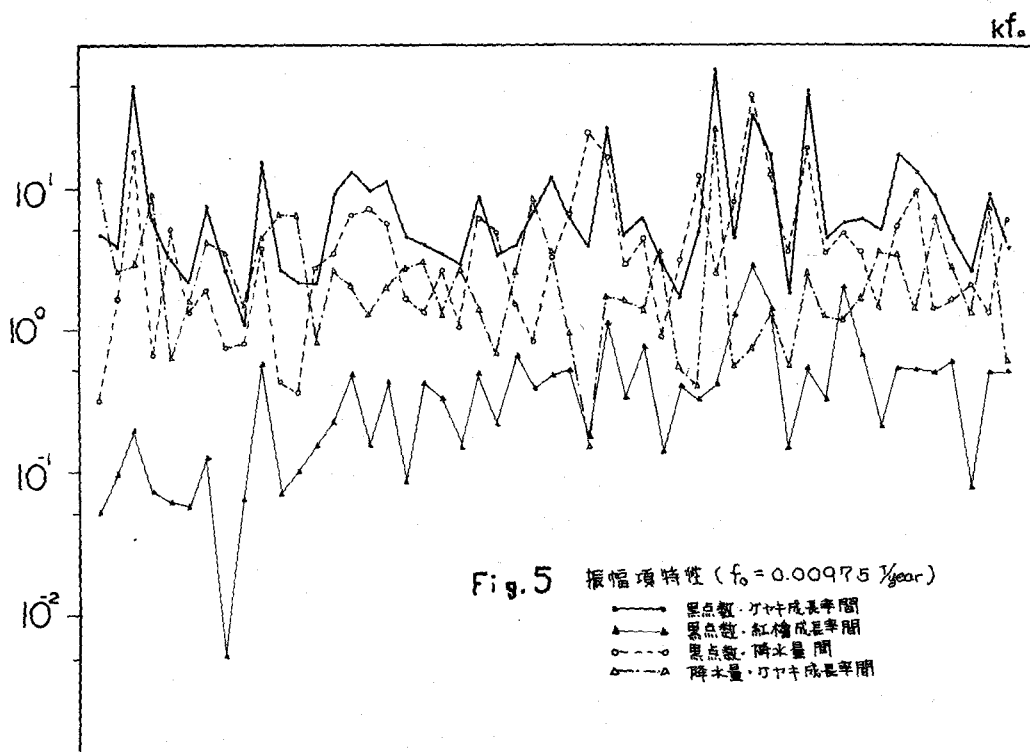


Fig. 5 振幅項特性 ($f_0 = 0.00975 \text{ /year}$)

- 黒点數・ δ ヤナ成長率間
- ▲ 黒点數・紅椿成長率間
- 黒点數・降水量間
- △ 降水量・ δ ヤナ成長率間

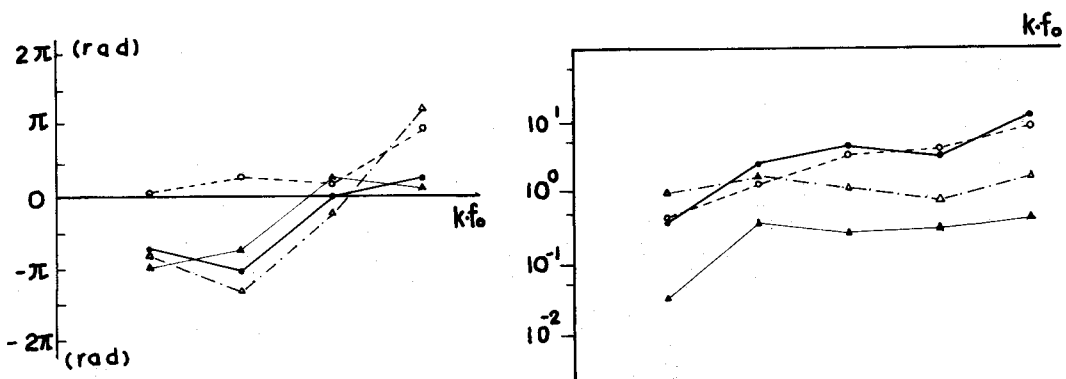


Fig.6 位相頻特性(右)・振幅頻特性(左) ($f_0 = 0.0897 \text{ /year}$)

● 黒点数・江ヤキ成長率間
▲ 黒点数・紅櫻成長率間
○ 黒点数・降水量間
△ 降水量・江ヤキ成長率間

3. 結果・考察

太陽活動の指標として Wolf の相対黒点数、降水量は山形の夏期平均降水量、樹木成長率変化は樹今 323 年の山形産ケヤキと樹今 1047 年の台湾阿里山産紅櫻を観測データとして用い、Fig-1 に示した伝播機構の入出力信号として系のシステム関数を推定した。Wolf の相対黒点数の変化とパワースペクトルを Fig-2,3 に示した。パワースペクトルのピークは $f = 0.00975 \text{ /year}$ と $f = 0.0897 \text{ /year}$ で認められるので、この両周波数を基本周波数にとって、それぞれにおけるシステム関数の位相頻、振幅頻特性を求めて、Fig-4～7 に示した。

黒点数変動周期 $f = 0.00975 \text{ /year}$ に対する位相頻(Fig.4)・振幅頻(Fig.5)特性に示すように、黒点数、降水量間と黒点数、樹木成長率間のシステム関数の特性が非常に類似している。変動周期 $f = 0.0897 \text{ /year}$ に対する位相頻・振幅頻特性(Fig.6)を見ると、各成分間のシステム関数の特性はあまり良く対応していないが、位相頻特性において黒点数、降水量間の特性はほぼ一定であり、降水量、樹木成長率間の振幅頻特性変化も一定値を保っていることが認められる。

Fig.1 で想定した伝播機構において、100 年程度の長周期変動は一定の特性変化を示す伝達関数に依って、降水量変動更に樹木成長率に伝えられていると考えられる。それに對し、11 年程度の短周期変動は想定した伝播機構を通じての影響よりも、地域的な要因の影響を多く受けていると想われる。今後、降水量変動等ともっと密な関係がある標本を見い出すことができるならば、更に細部にわたって詳しく検討でき将来の予測の精度は増すものと思われる。なお、本計算には信州大学データーションを通じ東大大型計算機を用いた。

4. 参考文献

- | | |
|--------|---------------------------|
| 大内 正夫 | "樹木の成長率と気候変動" |
| 鶴見 暉 | "ハイパスフィルターを用いる複数系の推定の一方法" |
| 余越 正一郎 | "樹木の成長率と太陽活動について" |

京都学芸太陽紀要 Ser.8 No.25 1964.10
計測自動制御学会論文集 第19巻 6号 1975.12
農業土木学会誌 第34卷 9号 p.539 1966.12